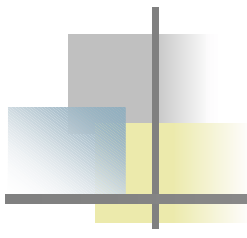


超伝導ウィグラー(SCW)で発生する高エネルギー放射光について

早乙女光一 (SPring-8 加速器部門)

1. SCW について
2. SCW からの放射光について
3. ビーム試験について

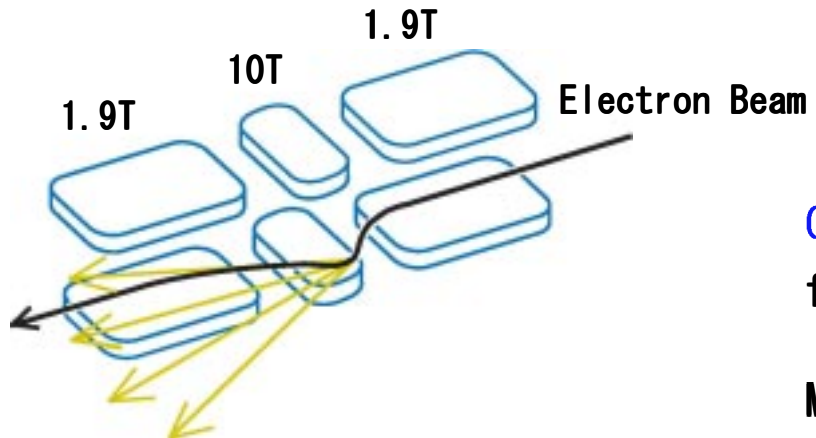
<http://acc-web.spring8.or.jp/~soutome/>



*** about SCW ***

*** SCW について（概観） ***

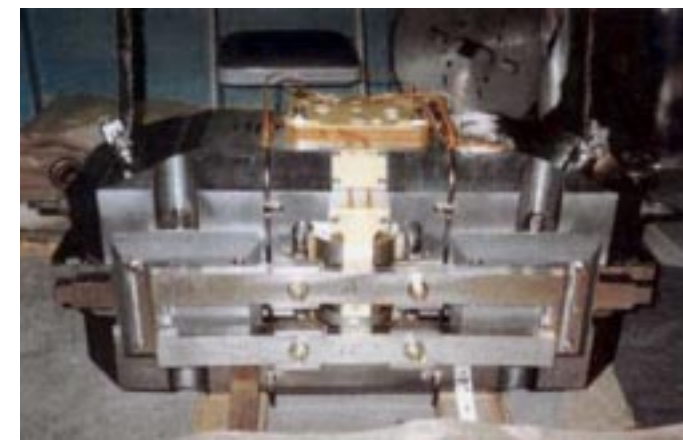
SCW: Superconducting Wiggler (Wavelength Shifter)



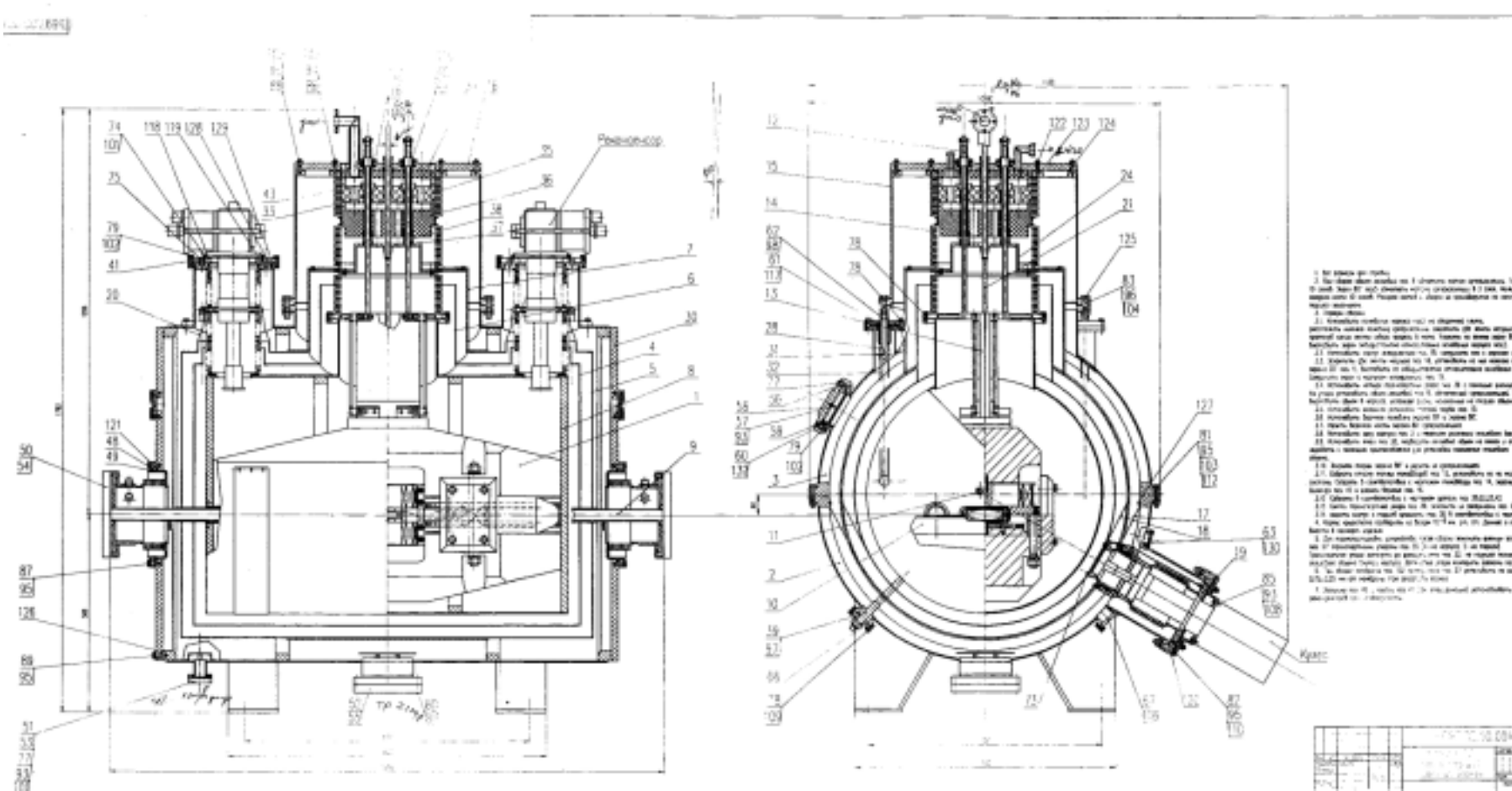
Horizontal $\sim \pm 25\text{mrad}$
Vertical $\sim \pm 25\mu\text{rad}$ for $1\text{MeV}\gamma$

Critical Photon Energy = 0.43MeV
for $E_e=8\text{GeV}$, $B=10\text{T}$

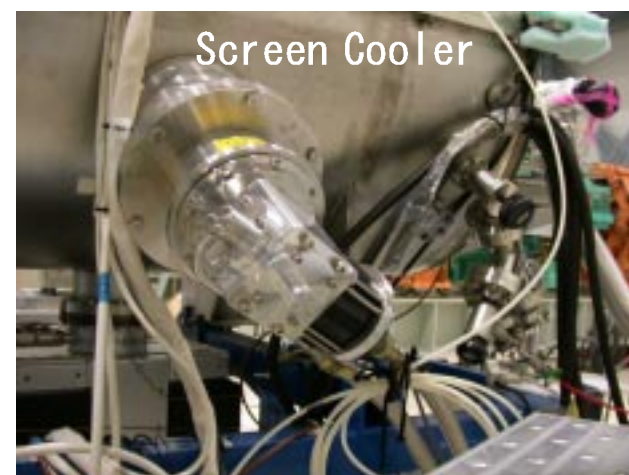
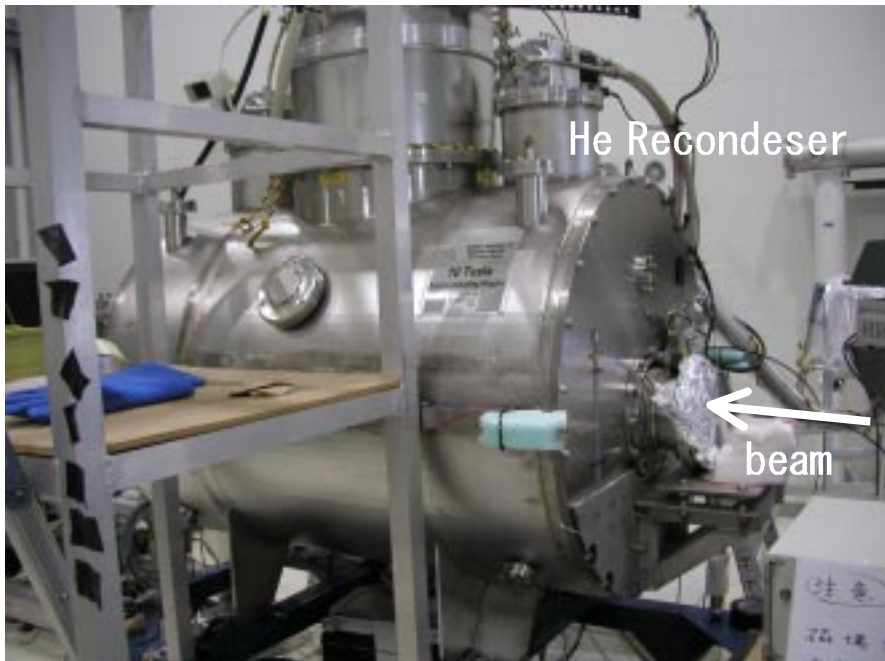
Most of the power is found in
frequencies near $\nu_c=E_c/h$.

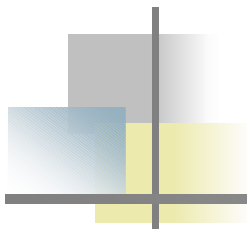


Structure



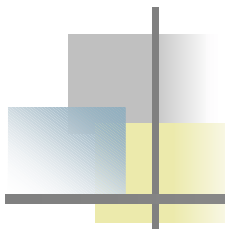
SCW in test-bench





経緯

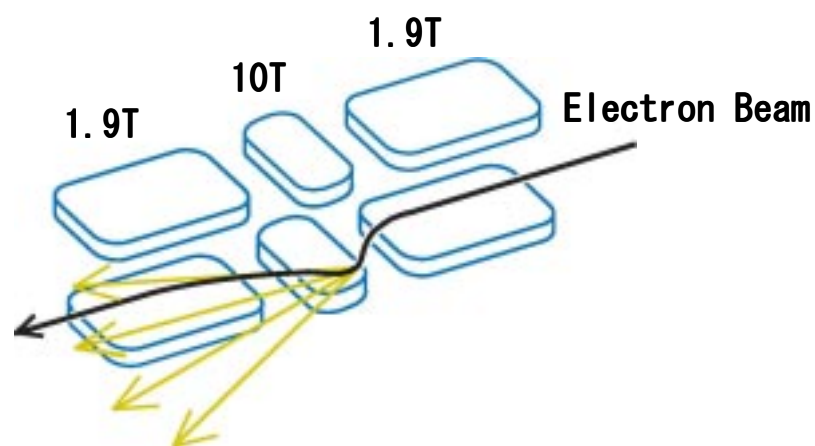
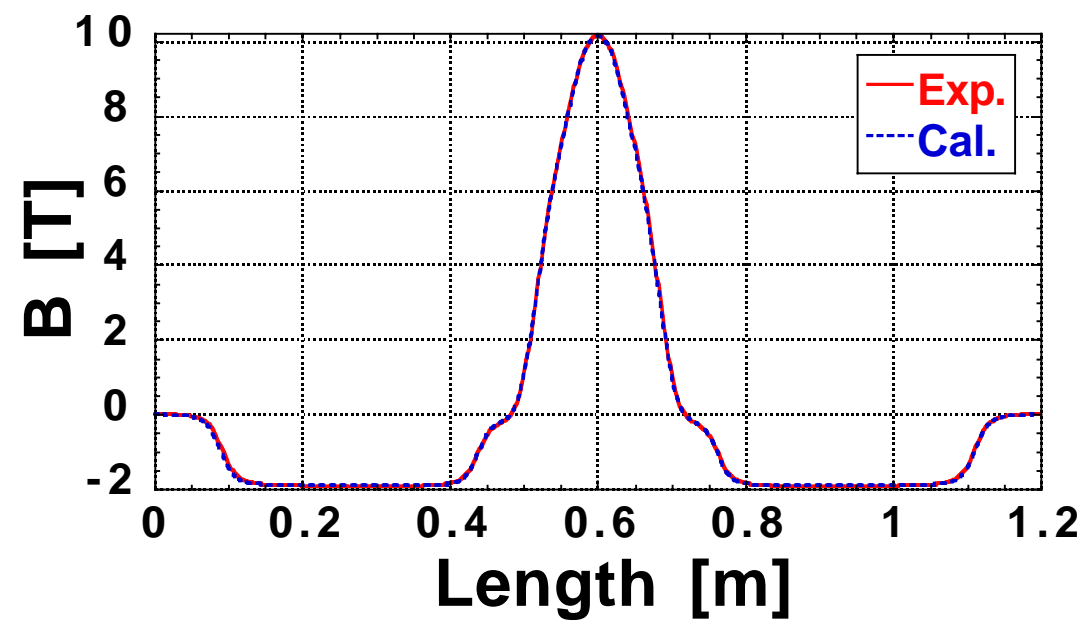
- 1995～ SCW 製作のための検討、設計、R&D (*with Budker INP, Russia*)
- 1999 SCW 完成。
- 2000／1 SPring-8 に搬入、励磁試験、磁場測定。
- 2001／11～ 冷却能力改善、設置に向けた検討と真空機器類の製作。
- 2002／8 蓄積リング5セル直線部に設置。
- 2002／9 1回目のビーム試験 (0.1mA)
電子ビームに対する影響を見た。
- 2002／11 2回目のビーム試験 (max. 0.91mA @ 9.5T)
放射線、熱負荷などの基礎データを取った。
放射光スペクトルを測定した。
- 2002／12 蓄積リングより撤去。組立調整実験棟に移設。



***** Synchrotron Radiation from SCW *****

***** SCWからの放射光について *****

Dipole Field of SCW



Side
Pole

Central
Pole

Side
Pole

Critical Photon Energy

Bending Radius: $\rho = E_e / (ecB)$

$$\rho [m] = 3.336 E_e [\text{GeV}] / B [\text{T}]$$

e. g. $E_e = 8 \text{ GeV}$, $B = 10 \text{ T}$ $\rightarrow \rho = 2.7 \text{ m}$ (SCW)

$B = 0.68 \text{ T}$ $\rightarrow \rho = 39 \text{ m}$ (Bending Magnet)

Critical Photon Energy: $\varepsilon_c = \hbar\omega_c$

$$\omega_c = 3\gamma^3 c / (2\rho)$$

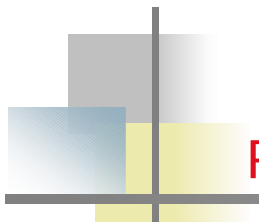
where $\gamma = E_e / m_e$

$$\varepsilon_c [\text{keV}] = 0.665 E_e^2 [\text{GeV}] B [\text{T}]$$

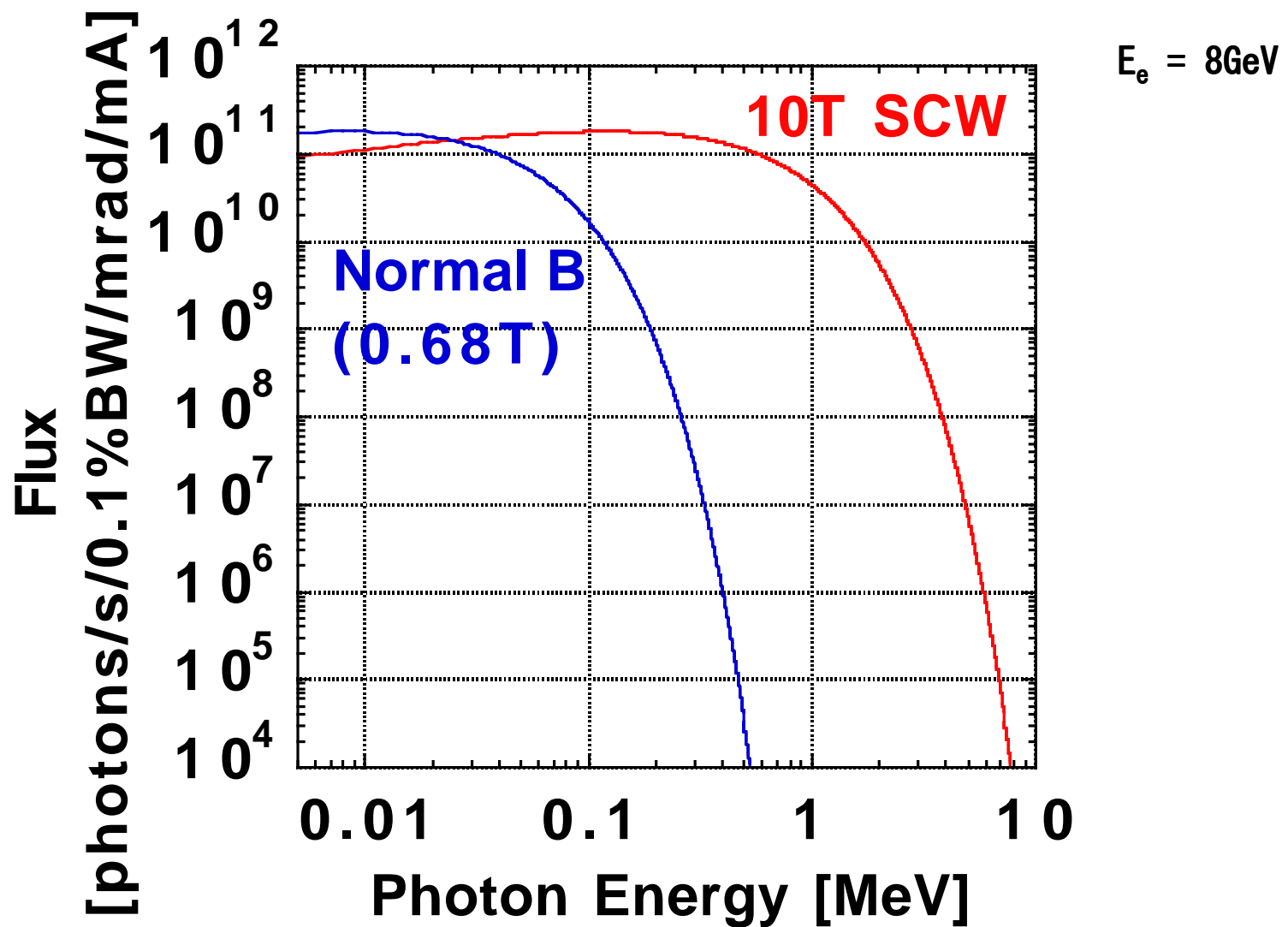
e. g. $E_e = 8 \text{ GeV}$, $B = 10 \text{ T}$ $\rightarrow \varepsilon_c = 426 \text{ keV}$ (SCW)

$B = 0.68 \text{ T}$ $\rightarrow \varepsilon_c = 29 \text{ keV}$ (Bending Magnet)

Most of the power is found in frequencies near ω_c .

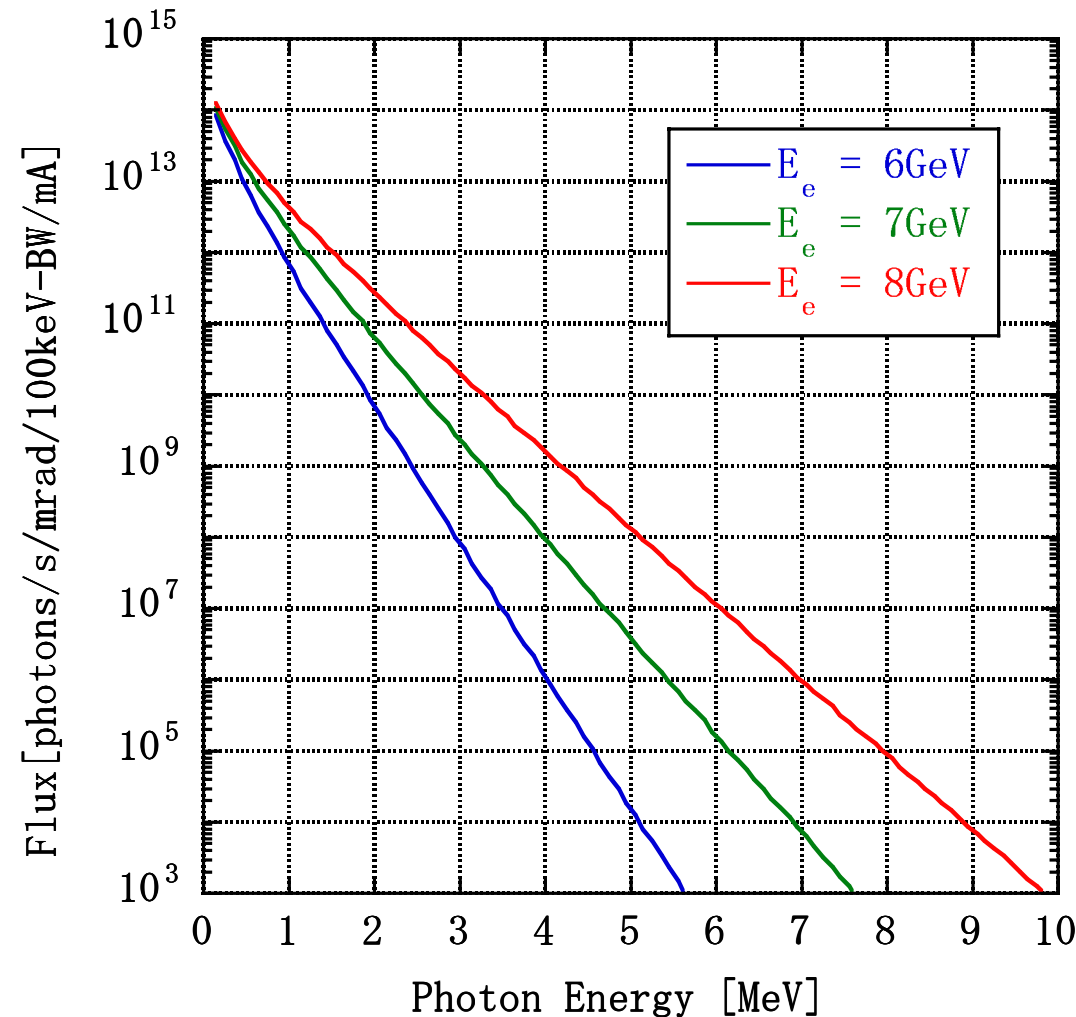


Photon Flux

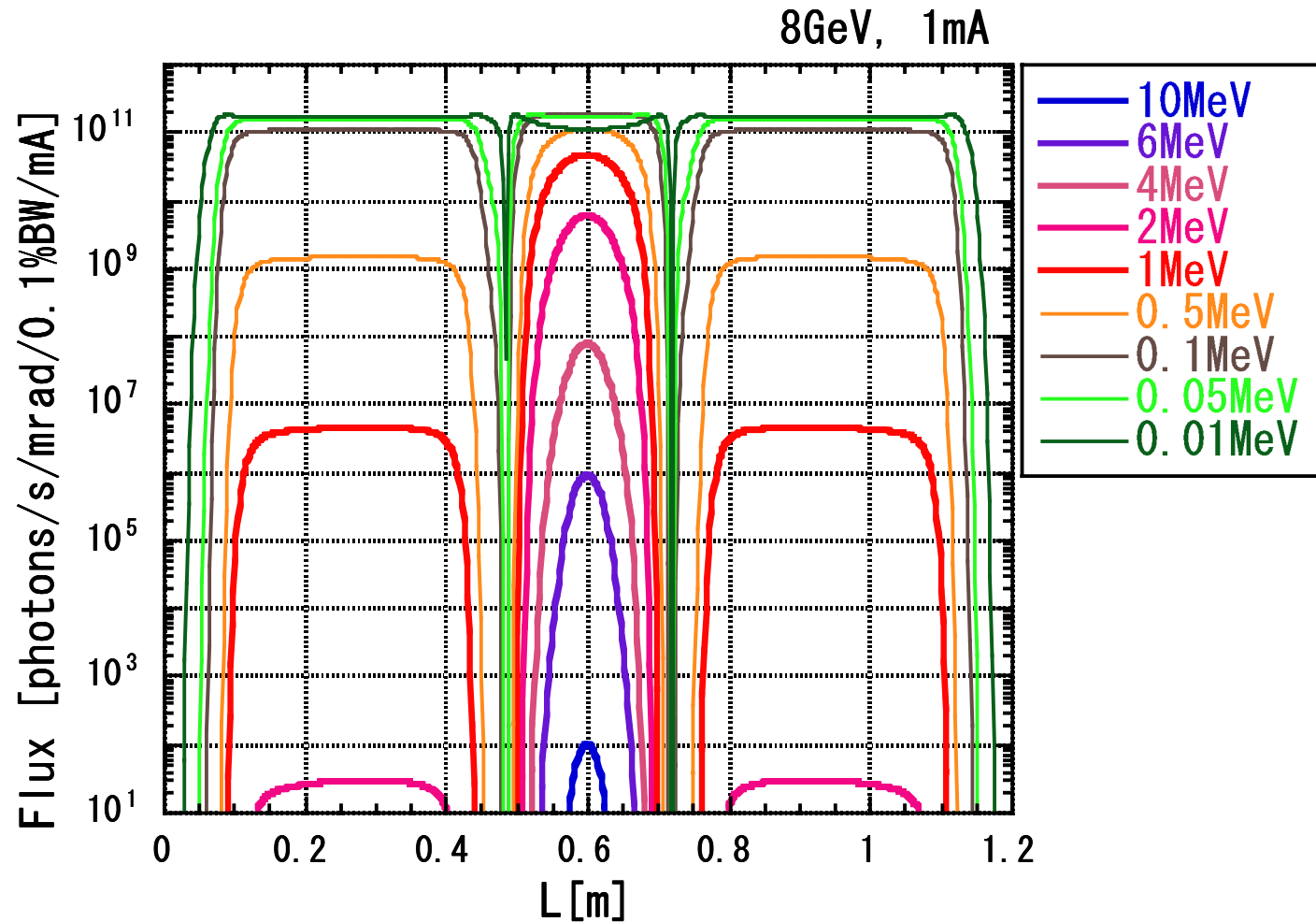


Photon Flux (contd.)

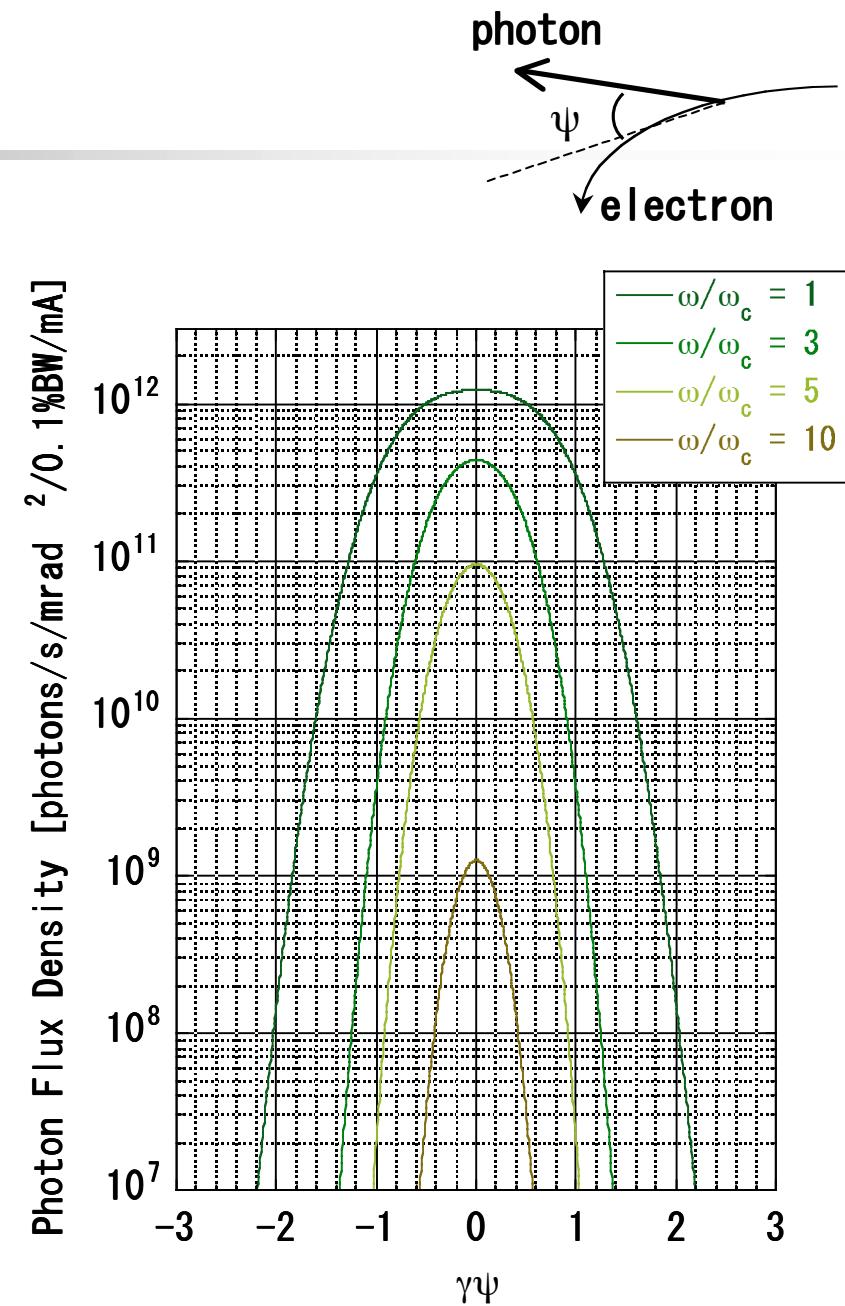
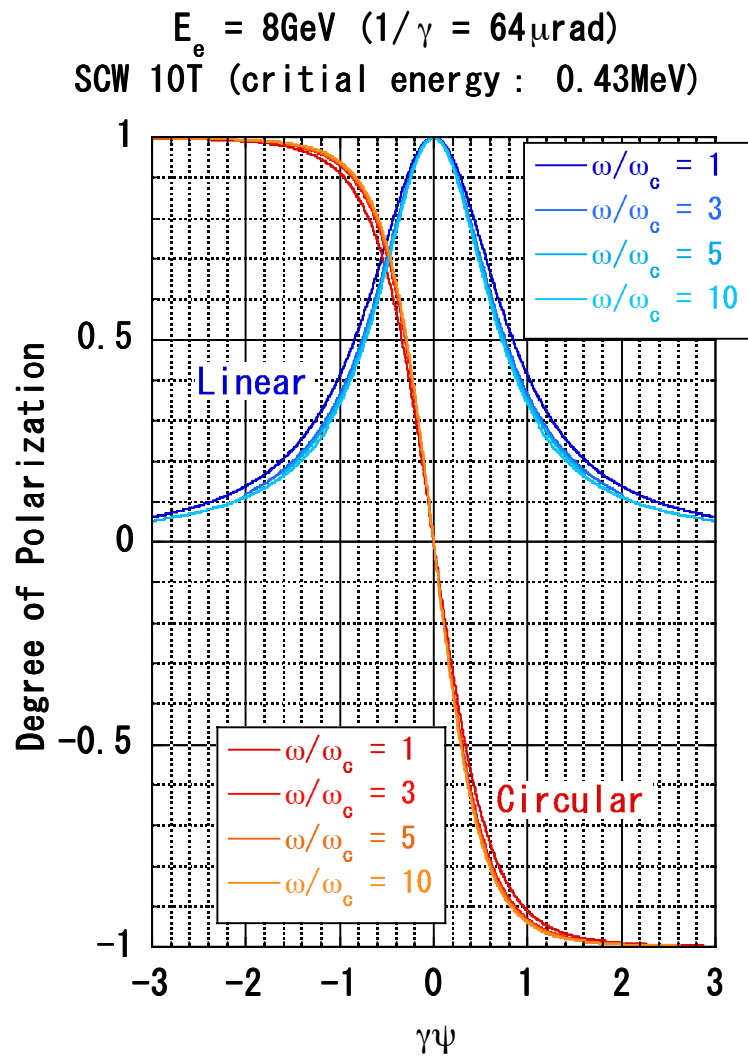
Photon Flux from 10T Uniform Field



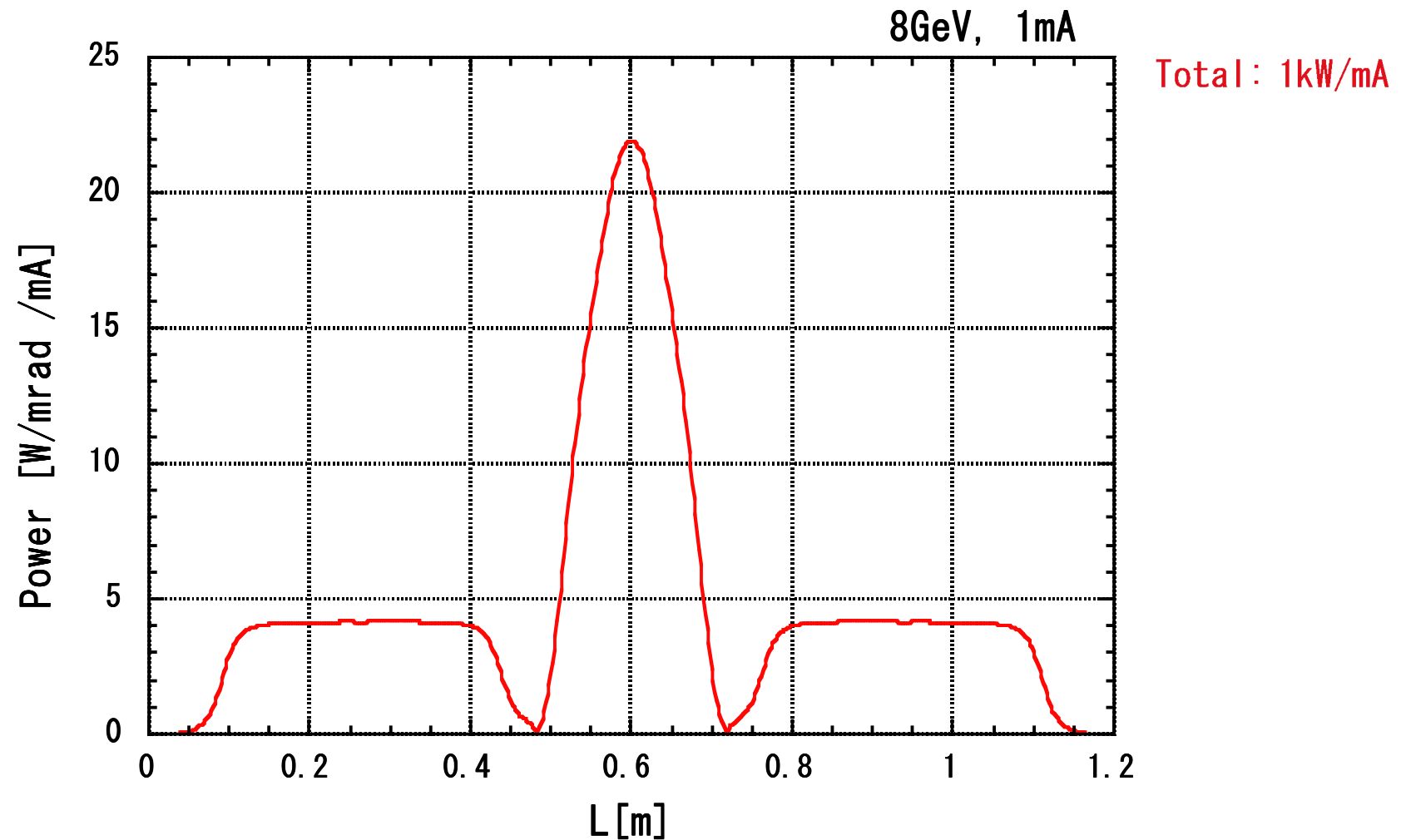
Photon Flux from 10T SCW



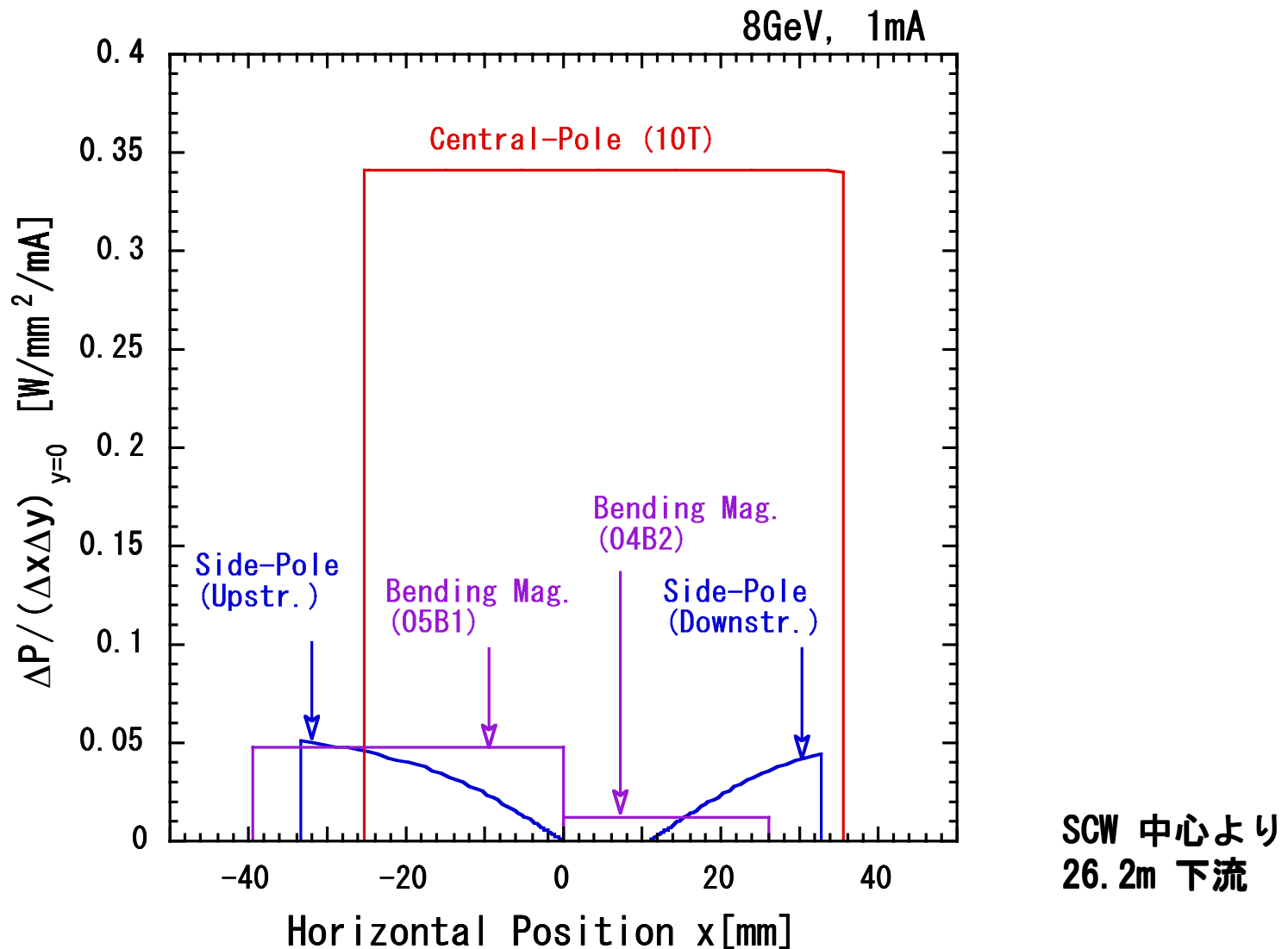
Polarization of Photons

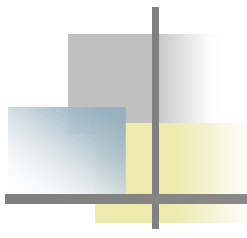


Radiation Power from 10T SCW



Radiation Power Density on Al-Window (Median Plane)





*** about Beam Test ***

*** ビーム試験について ***

... 電子ビームへの影響は無視できない。

*** PAC2003 (Portland, May 12-16, 2003) ***

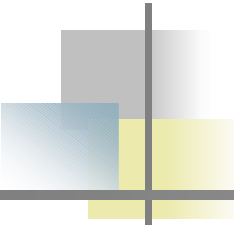
K. Soutome, S. Date', H. Ego, T. Fukui, M. Hara, N. Hosoda,
Y. Kawashima, M. Kodera, N. Kumagai, T. Magome, M. Masaki,
T. Masuda, S. Matsui, T. Nakamura, T. Noda, Y. Ohashi, T. Ohshima,
M. Oishi, H. Saeki, S. Sasaki, J. Schimizu*, M. Shoji, S. Takano,
M. Takao, T. Takashima, H. Takebe, K. Tamura, H. Tanaka,
Y. Taniuchi, K. Tsumaki, T. Yorita, C. Zhang, H. Yonehara

JASRI/SPring-8, Japan

**The Japan Research Inst., Ltd, Japan*

A. Batrakov, G. Karpov, G. Kulipanov, M. Kuzin, V. Shkaruba,
A. Skrinsky, N. Mezentsev

Budker INP, Russia



SCW Installed in the Storage Ring (August, 2002)

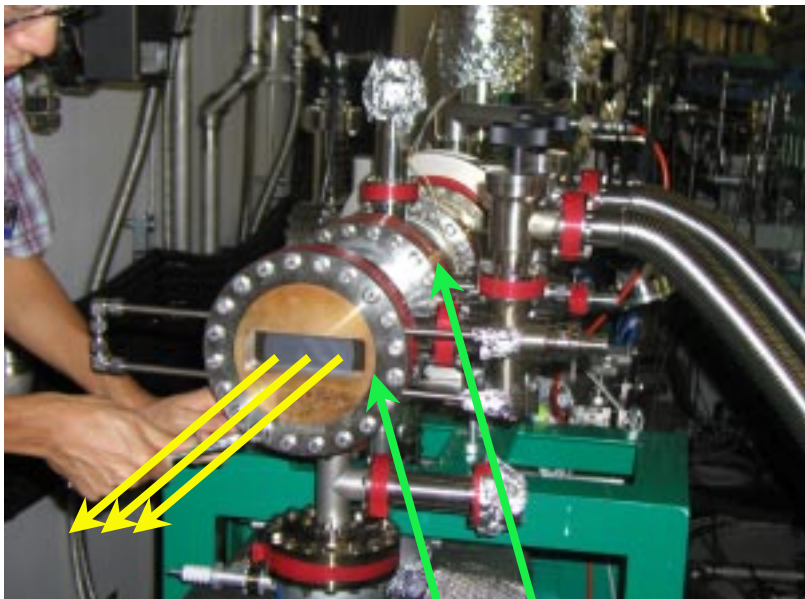
before



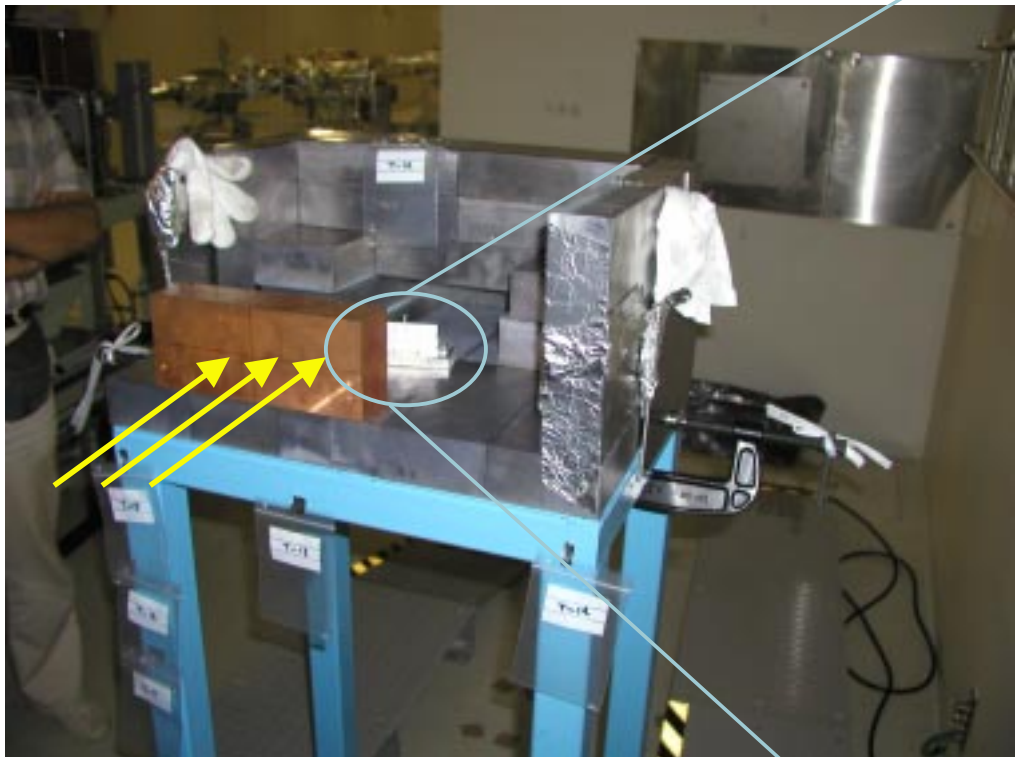
after



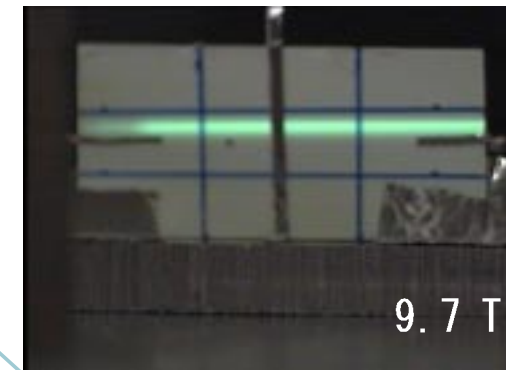
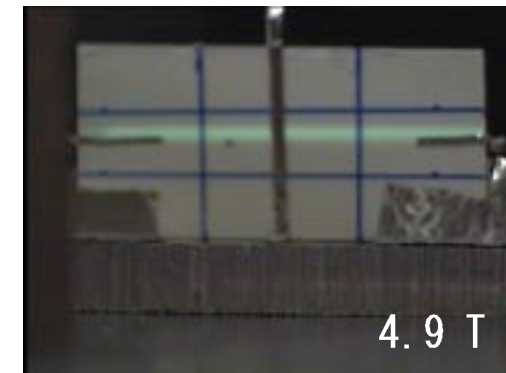
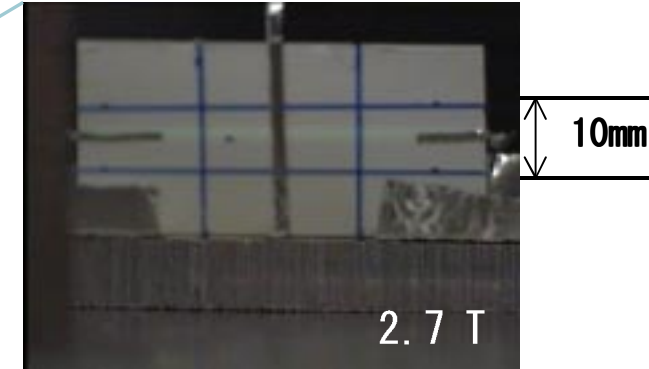
Photon Beamlne in the Beam Test



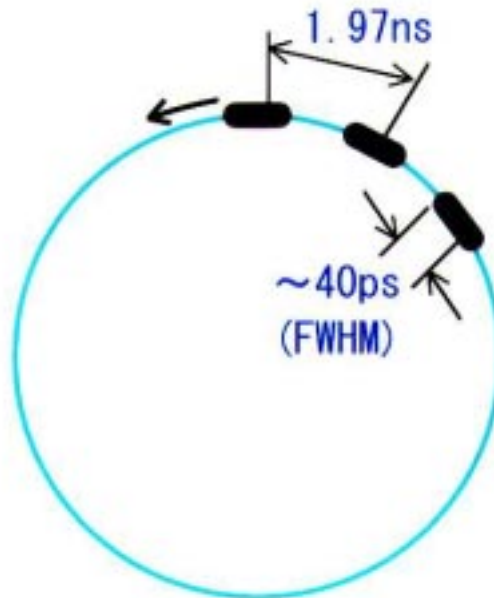
Observed Synchrotron Radiation



SCW 中心より
およそ 30m 下流



Time-Structure of Synchrotron Radiation



Ring Circumference : 1435.9488m

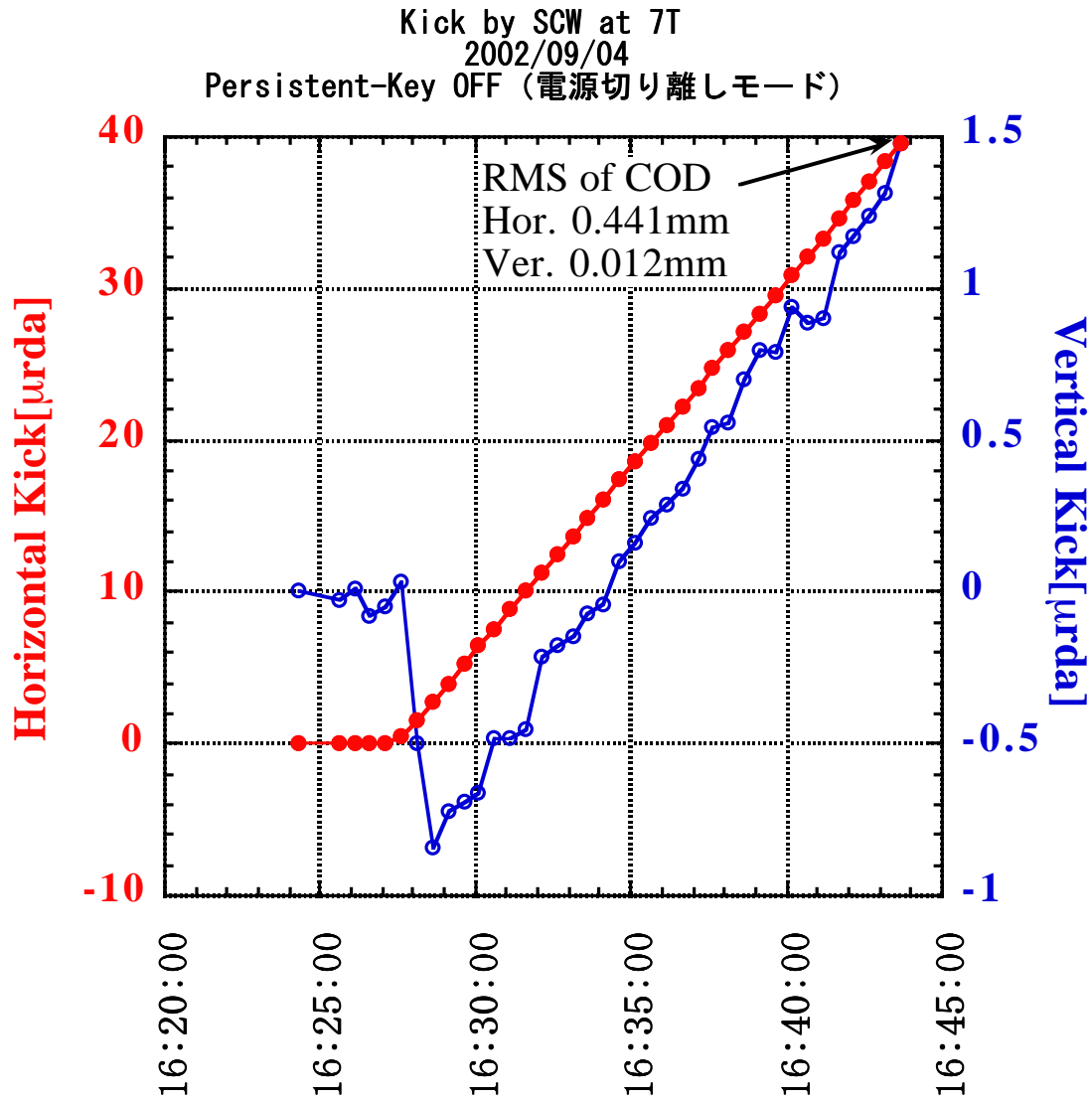
RF Accelerating Frequency : 508.58MHz

Total Number of RF Buckets : 2436

Time between Buckets : 1.97ns

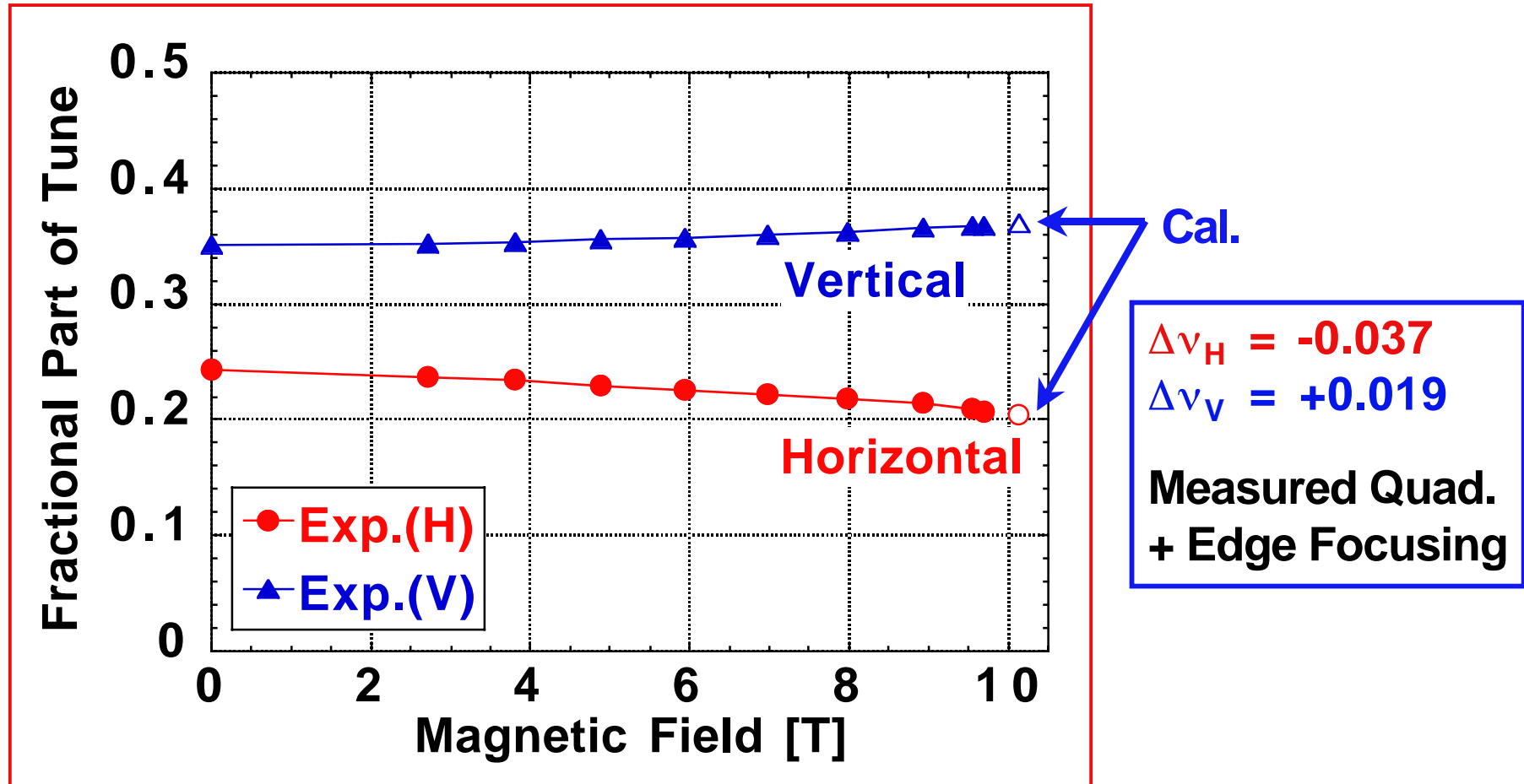
Revolution Period : $4.79 \mu s$

Stability of Magnetic Field in Closed Current-Loop Mode

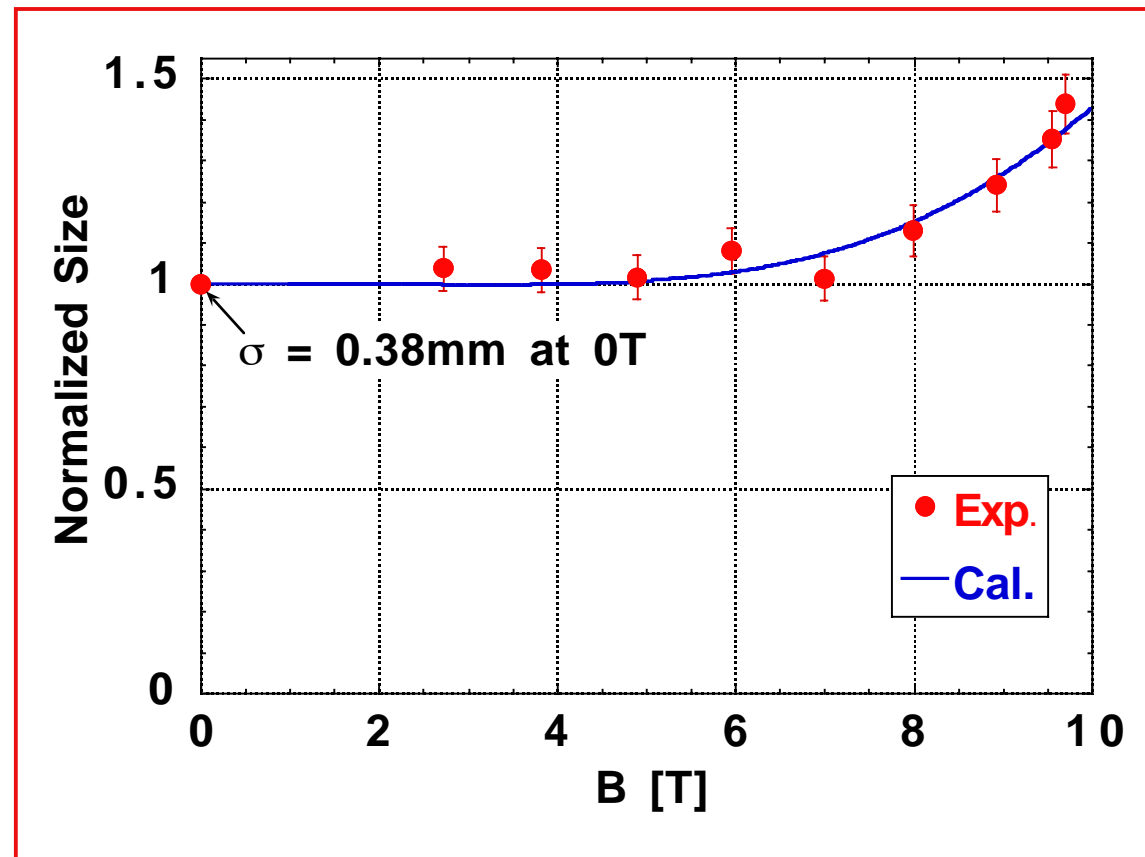


→ 電源切り離しモード
での運転はしない。

Betatron Tune



Horizontal Beam Size

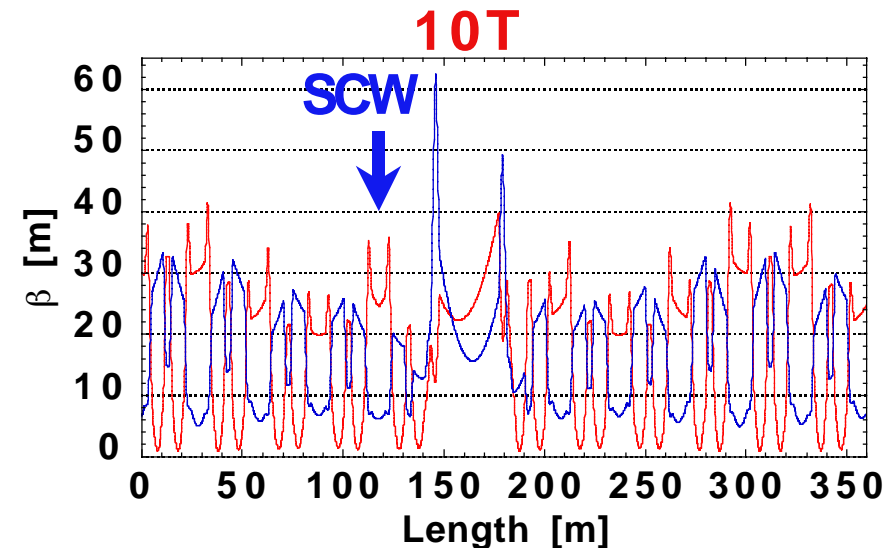
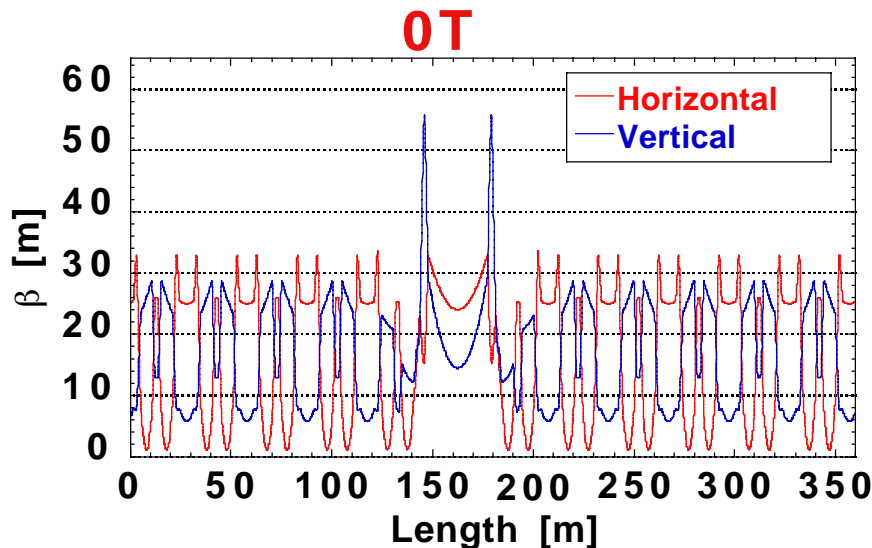


Horizontal size
was measured by
scraping a stored
beam.

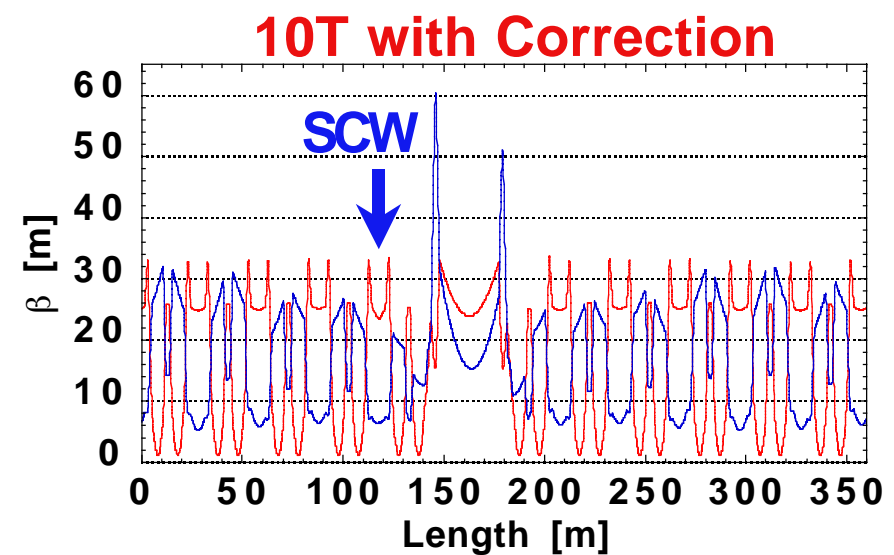
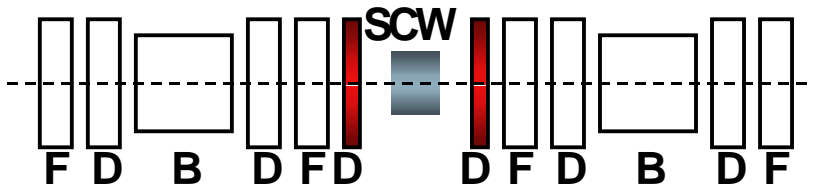
Beam Size :
1.4 times larger

Emittance :
2 times larger

Distortion of Betatron Fnc.



**Minimal Correction
with Adjacent Quads.**



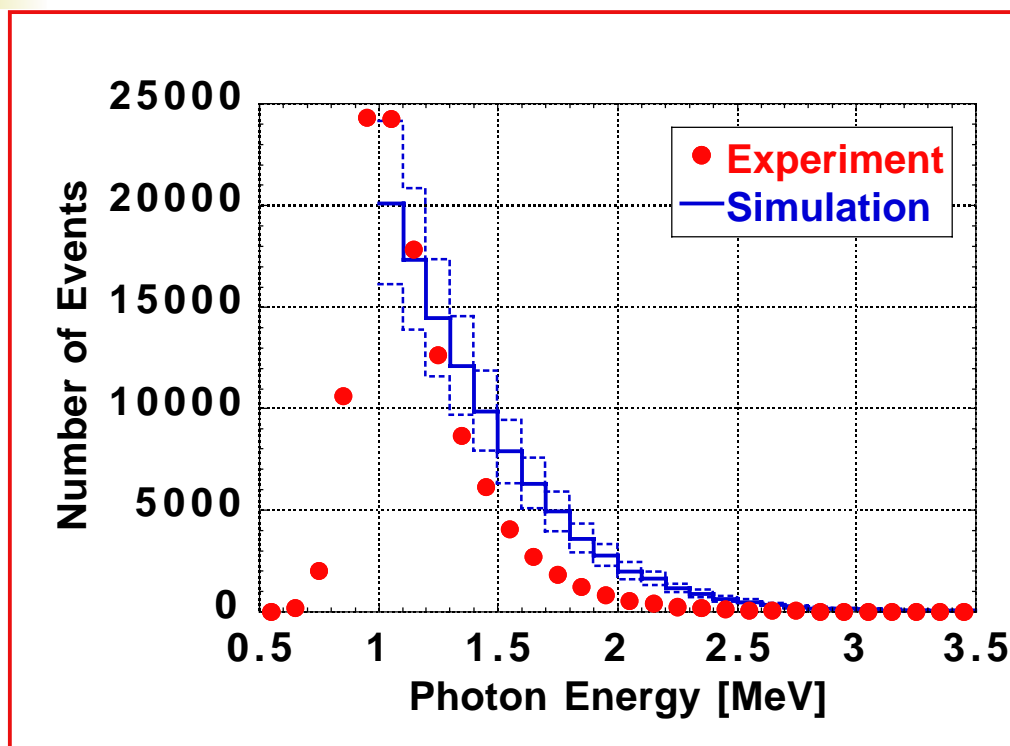
10T SCW による主なビームパラメータの変化

	通常の直線部（ビーム試験時） (中心から 0.28m 下流)	30m-長直線部 (中心から 10m 上流を仮定)	
Achromat Optics	Achromat Optics	Low-Emittance Optics	
Tune			
(ν_x, ν_y)	(40.282, 18.340)	(40.147, 18.349)	(40.152, 18.350)
Beta @ SCW			
(β_x, β_y) [m]	(25.0, 5.8)	(27.8, 21.4)	(26.3, 21.2)
Tune Shift (無補正時) *			
$(\Delta \nu_x, \Delta \nu_y)$	(-0.037, +0.019)	(-0.048, +0.090)	(-0.045, +0.089)
Beta-Distortion (無補正時) *			
$\Delta \beta_x / \beta_x$	< 26 %	< 55 %	< 48 %
$\Delta \beta_y / \beta_y$	< 16 %	< 165 %	< 163 %
Emittance*			
ϵ [nmrad]	6.4 → 13.3	6.6 → 14.3	3.4 → 12.4
Energy Spread			
$\Delta p/p$	0.11% → 0.14%	同左	同左

* 注 : $\Delta \nu$ 、 $\Delta \beta$ は直近の 4 極で局所補正が可能。 ϵ は補正後の計算値。

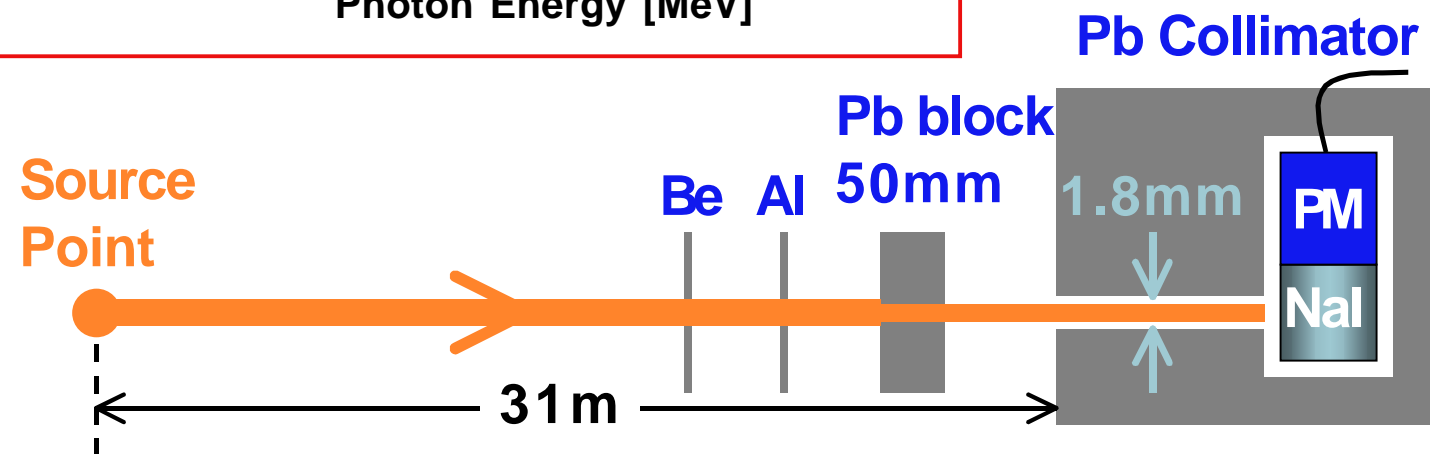
$\Delta \epsilon$ については、水平ディスパージョンの制御によって抑制できる可能性がある（検討中）。

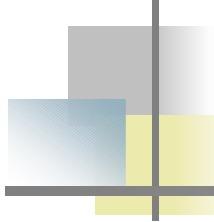
Measurement of Photon Energy Spectrum



Stored beam was scraped by bump magnets.

Stored current was estimated by photon -counting method:
8pA ($\pm 20\%$)





Summary

8GeV 電子蓄積リング + 10T SCW → MeV 領域 γ 線の生成

Photon Flux:

4×10^{12} [ph/s/mrad/100keV-BW/mA] at 1MeV

2×10^{10} [ph/s/mrad/100keV-BW/mA] at 3MeV

1×10^8 [ph/s/mrad/100keV-BW/mA] at 5MeV

Vertical observation angle $\psi = 1/\gamma = 64 \mu\text{rad}$ 程度以上では円偏光成分が見える。
ただし、flux は ψ とともに減少してしまう。

電子ビームに対する SCW の影響は無視できない。

例えば、4極による $\Delta\nu$ 、 $\Delta\beta$ の補正は必須。 $\Delta\varepsilon$ については検討中。

入射効率の確保などと合わせて、最適な補正スキームを総合的に検討する必要がある。